

京都大学防災研究所 正員 松岡 元
 京都大学大学院 学生員 北村良介
 " " 波田光敏

前回は砂を試料とした多軸試験(供試体寸法: $5\text{cm} \times 5\text{cm} \times 10\text{cm}$)結果を報告した¹⁾が、これは粘土試料について同じ多軸試験機によって平均主応力 σ_m 一定の排水三軸圧縮試験および平面ヒズミ試験を行ない、通常のNGI型三軸圧縮試験(供試体寸法: $\phi 3.5\text{cm}$, 高さ 8cm)結果と比較するとともに、主として空間モービライズド面(Spatial Mobilized Plane; 略称 SMP)に基づいて解析した。この3主応力が制御でき、かつ平面ヒズミ試験ができる多軸試験機の概要、実験方法については前回ほぼ同様である²⁾ので、文献1)を参照されたい。用いた試料は粘土粉末の練成し再圧密粘土($LL = 55.0\%$, $PL = 34.0\%$, $G_s = 2.65$)で、通称藤の森粘土と呼ばれているものである。なお、多軸試験機およびNGI型三軸試験機の軸方向変位速度はともに $4.4 \times 10^{-4}\text{mm/min.}$ とした。

まず提案してある SMP 上のせん断・垂直応力比 τ/σ_N 、垂直ヒズミ増分 $d\varepsilon_N$ 、せん断ヒズミ増分 $d\gamma$ と主応力、主ヒズミ増分との関係は次式で表わされる。²⁾

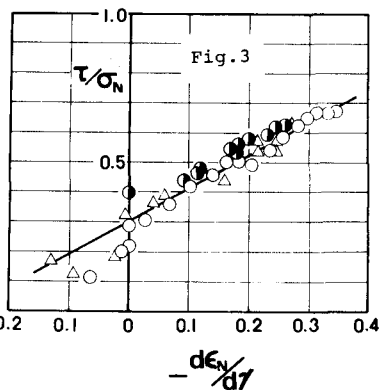
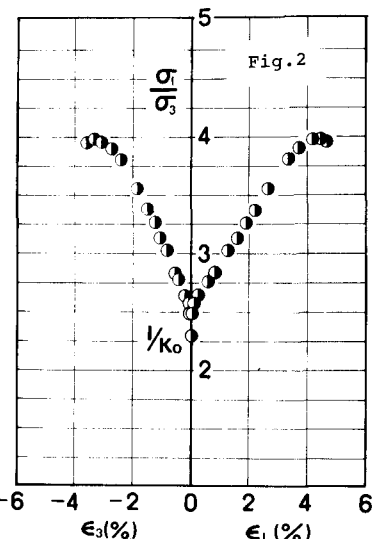
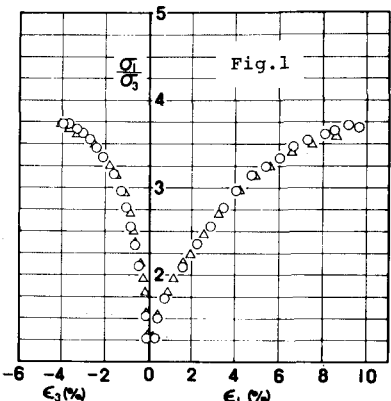
$$\frac{\tau}{\sigma_N} = \sqrt{\frac{J_1 \cdot J_2 - 9J_3}{9J_3}} \quad \dots (1), \quad d\varepsilon_N = \frac{J_3}{J_2} \left(\frac{d\varepsilon_1}{\sigma_1} + \frac{d\varepsilon_2}{\sigma_2} + \frac{d\varepsilon_3}{\sigma_3} \right) \quad \dots (2)$$

$$d\gamma = 2 \cdot \frac{J_3}{J_2} \sqrt{\frac{(d\varepsilon_1 - d\varepsilon_2)^2}{\sigma_1 \sigma_2} + \frac{(d\varepsilon_2 - d\varepsilon_3)^2}{\sigma_2 \sigma_3} + \frac{(d\varepsilon_3 - d\varepsilon_1)^2}{\sigma_3 \sigma_1}} \quad \dots (3)$$

$$= E, \quad J_1 = \sigma_1 + \sigma_2 + \sigma_3, \quad J_2 = \sigma_1 \sigma_2 + \sigma_2 \sigma_3 + \sigma_3 \sigma_1, \quad J_3 = \sigma_1 \sigma_2 \sigma_3 \quad \dots (4)$$

$$\text{なお}, \quad \varepsilon_N = \sum d\varepsilon_N, \quad \gamma = \sum d\gamma \text{ と } L \text{ を計算してある}.$$

Fig. 1 は多軸試験機による排水三軸試験結果(\circ 印: 平均有効主応力 $\sigma_m = 2.0 \text{ kN/cm}^2$, せん断直前の初期含水比 $w_i = 30.9\%$)と NGI 型三軸試験機による排水三軸圧縮試験結果(\triangle 印: $\sigma_m = 2.0 \text{ kN/cm}^2$, $w_i = 31.4\%$)を、有効主応力比 σ/σ_N と主ヒズミ ε_1 , ε_3 の関係で比較したものである。この図より両試験機によれば同じ結果が得られるのがみられる。Fig. 2 は多軸試験機による排水平面ヒズミ試験結果($\sigma_m = 2.0 \text{ kN/cm}^2$, $w_i = 29.6\%$)の同じ整理をしてある。平面ヒズミ試験の場合、 σ_2 方向の変位拘束板の間隔をセル外から調節できないので、まず K_0 压密($K_0 = 0.435$)を $\sigma_m = 2.0 \text{ kN/cm}^2$ まで行なったのちセン断した。Fig. 3 は式(1)~(3)を用いて計算して SMP 上の τ/σ_N ~ $-d\varepsilon_N/d\gamma$ 関係、Fig. 4 は τ/σ_N ~ $-d\varepsilon_N/\gamma$ 関係の整理を示している。これらの図より、多少のバラツキはあるが多軸試験機による三軸圧縮試験(\circ 印), 平面ヒズミ試験(\bullet 印)および NGI 型三軸試験機による三軸圧縮試験(\triangle 印)の結果がほぼ同一の直線上に整理されるのがみられる。Fig. 4において、特に



せん断初期にプロットが直線となりはされるようであるが、この部分では ϵ_N や γ の絶対値が小さいので実際にはあまり問題にならないようである。なお、Fig. 3, 4 はモービライズド面上の基本式³⁾

$$\frac{\tau}{\sigma_N} = \lambda \left(-\frac{d\epsilon_N}{d\gamma} \right) + \mu \quad \text{--- (5)}, \quad \frac{\tau}{\sigma_N} = \lambda \left(-\frac{\epsilon_N}{\gamma} \right) + \mu' \quad \text{--- (6)}$$

を意識して整理したものである。また式(5), (6)より次式が導かれる³⁾

$$\frac{\tau}{\sigma_N} = (\mu' - \mu) \cdot \ln \frac{\gamma}{\gamma_0} + \mu \quad \text{--- (7)}, \quad \epsilon_N = \frac{\mu - \mu'}{\lambda} \cdot \gamma \cdot \left\{ \ln \frac{\gamma}{\gamma_0} - 1 \right\} \quad \text{--- (8)}$$

この式(7), (8)に対応して整理したのが Fig. 5, 6 である。 $\gamma = 2^{\circ}$, $\lambda = 1.1$, $\mu = 0.30$, $\mu' = 0.44$, $\gamma_0 = 0.8\%$ であることがわかる。

Fig. 5, 6 中の実曲線は、これらの係数値を用いて(7), (8)式によて計算したものである。なお、Fig. 5 には Fig. 6 の K_0 压密後の平面ひずみ試験結果も平行移動して示してある。Fig. 5 により、SMP 上の $\tau/\sigma_N \sim \gamma \sim \epsilon_N$ 関係を整理すれば、上記 3 個の試験結果がほぼ同じ関係式によってユニークに規定できそうに思われる。

このことは、同じ初期構造をもつ砂についてもまた実験的に検証してほしい²⁾。

さて、SMP 上の τ/σ_N が一定という降伏条件 ($J_1 \cdot J_2 / J_3 = \text{const.}$ となす) を提案しているが、Fig. 7 に正八面体面上で求めたこの降伏条件 (実曲線) と Mohr-Coulomb の条件 (一点鎖線) および上記 3 個の試験結果のプロットを示す。この図において、三軸圧縮試験 (O , Δ) とは破壊時の応力のみを、 K_0 压密後の平面ひずみ試験とは K_0 状態から破壊に至るまでの応力経路を示した。この図より、この試料は $\sigma_m = 2.0 \text{ kN/cm}^2$ (一定) の三軸圧縮条件および K_0 压密後の平面ひずみ条件における、ほぼ $(\tau/\sigma_N)_{SMP} = \text{const.}$ という破壊条件を満足するものがみられる。なお、Fig. 5 により破壊時だけではなく、せん断ひずみがある値をもつときの $(\tau/\sigma_N)_{SMP}$ もほぼ一定となる、おおよそ半径 ϵ_N 線と $(\tau/\sigma_N)_{SMP} = \text{const.}$ 線が対応するのではないかと期待される。今後は、三軸伸張条件や他の多軸条件下のデータを集積して、上述の問題を検証することとともに、この SMP に基づいて土の構成式を規定していくことを考えていい。

- 参考文献
- 1) 松岡・北村：多軸試験機による土の応力-ひずみ特性について、第29回土木学会年次講演会、Ⅲ-28、1974、pp. 53-54。
 - 2) 松岡：空間モービライズド面の意義について、第10回土質工学研究発表会、1975、pp. 157-160。

- 3) 松岡：Shear-Strain Relationship of Sands Based on the Mobilized Plane, Soils and Foundations, Vol. 14, No. 2, 1974, pp. 47-61.

